

Curso: Técnicas de muestreo para el estudio y manejo de vertebrados terrestres

Anfibios (II)

Dr. Andrés Canavero

acanavero@gmail.com



UNIVERSIDAD DE LA REPÚBLICA URUGUAY



¿Por qué debería preocuparnos si perdemos anfibios?

Es por las mismas razones básicas por las que deberíamos preocuparnos si otros animales y plantas desaparecen: economía, función del ecosistema, estética y ética.

(Noss and Cooperrider 1994; Groom *et al.* 2006)

Establecer la pregunta y los objetivos del estudio

¿Dónde y cuándo? Definiendo la escala espacial y temporal del estudio

¿Cuánto? Definiendo el tamaño de la muestra

Muestra representativa de la población

Número de réplicas de las unidades experimentales

(individuos, poblaciones, especies, parches de hábitat, entre otros)

- **Inventarios de fauna:** describir y/o cuantificar la fauna de una localidad
- **Monitoreos de fauna:** describir y/o cuantificar cómo varía en el tiempo la fauna de una localidad

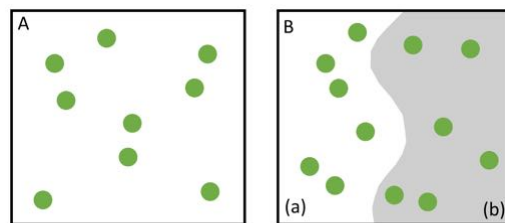
¿Cómo? Diseños de muestreo estandarizados

A. Muestreo aleatorio simple

B. Muestreo aleatorio en bloques o estratificado

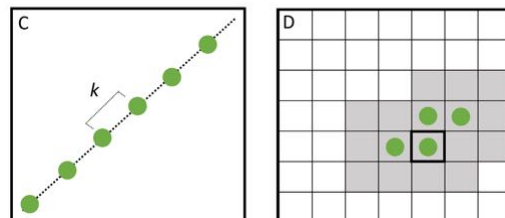
C. Muestreo sistemático

D. Muestreo adaptativo



Variación e la **detectabilidad:**

- Historias de vida
- Variación circadiana
- Fenología
- Tipos de ambientes



Relevamiento de la diversidad

1- Oviposturas y embriones

Colecta y mantenimiento de oviposturas

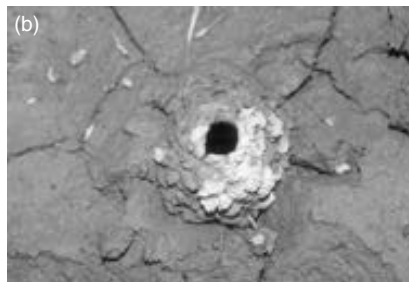
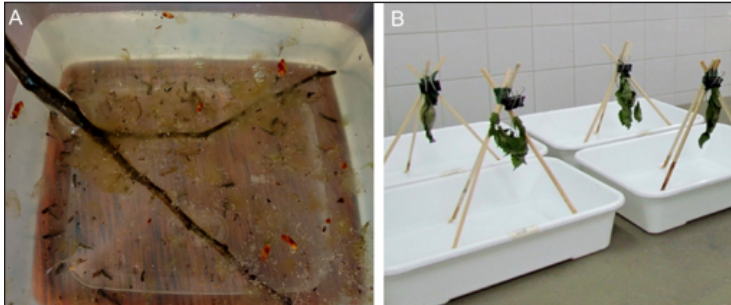
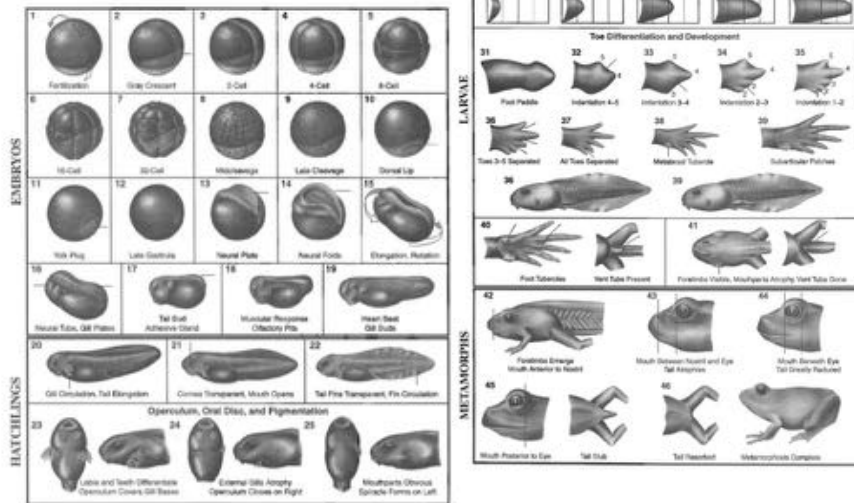
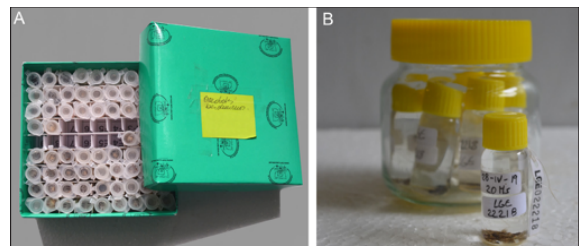


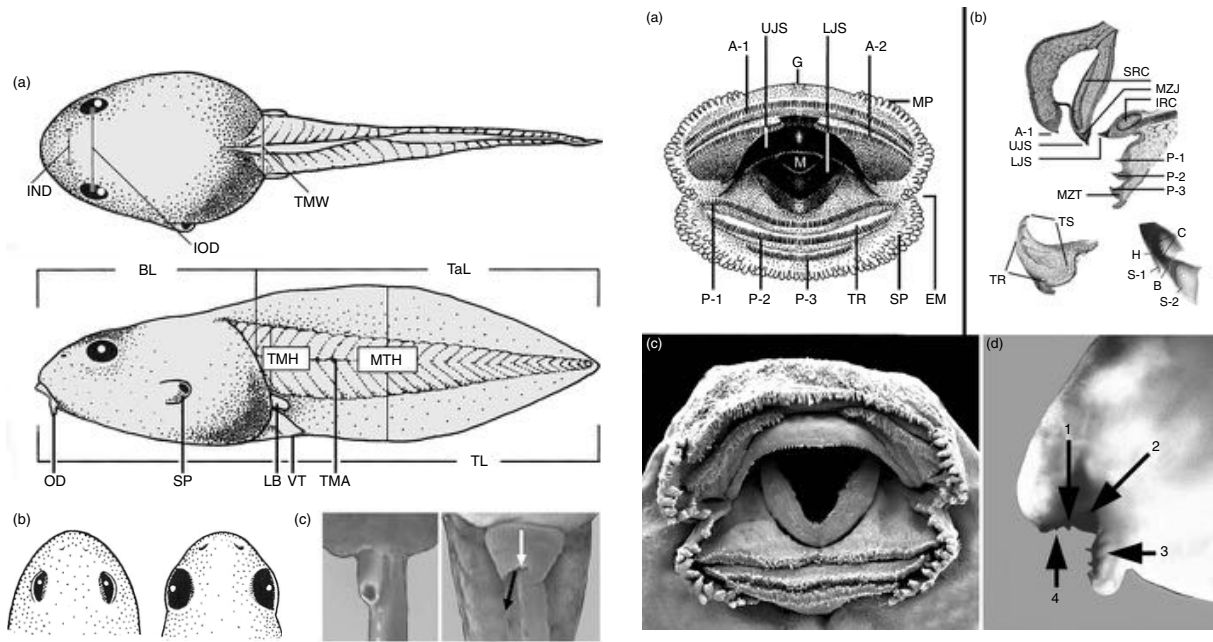
Tabla de Gosner (1960) o sistema de estadios



Morfometría de renacuajos



Morfometría de renacuajos



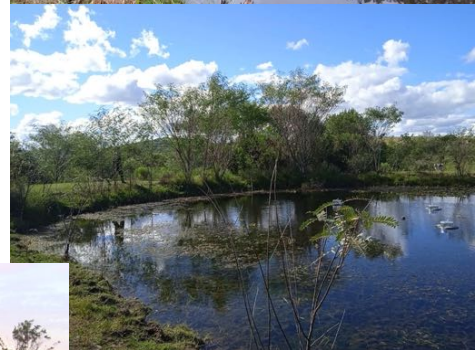
2- Colecta de renacuajos

Del estadio 25 de Gosner

branquias externas son reabsorbidas

Hasta el 41 de Gosner

erupción de los miembros anteriores en el clímax metamórfico



Técnicas de muestreo activo

- Redes
- Cajas trampa
- Encuentros visuales



Técnicas de muestreo pasivo

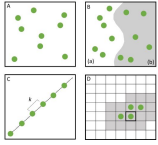
- Redes simples (bolas y plomos, ancho de maya)
- Trampas de embudo (nasa)



3- Relevamiento de postmetamorfos (juveiles o adultos)

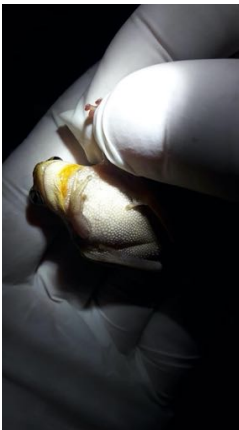
Técnicas de muestreo activo

- **Muestreo por encuentros visuales**



Supuestos:

- i) todos los individuos de las distintas especie tienen la misma probabilidad de ser encontrados.
- ii) cada individuo es detectado una única vez en la búsqueda.



3- Relevamiento de postmetamorfos (juveiles o adultos)

Técnicas de muestreo activo

- **Muestreo por registros auditivos**

Canto especie-específico

a) Muestreo auditivo

Categorías de abundancia

Ocacional

Raro

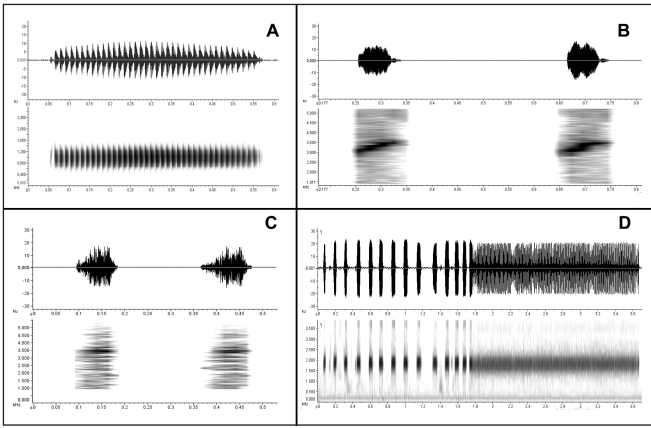
Común

Abundante

b) Registros sonoros



3- Relevamiento de postmetamorfos (juveiles o adultos)

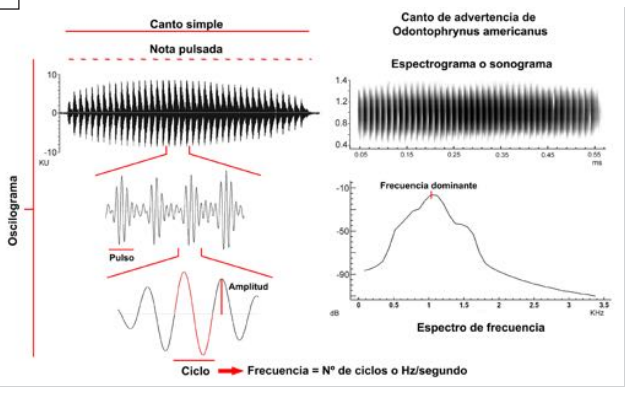


Oscilograma

Espectrograma

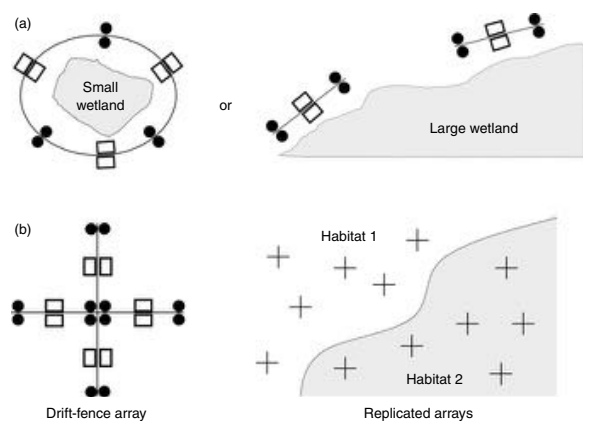
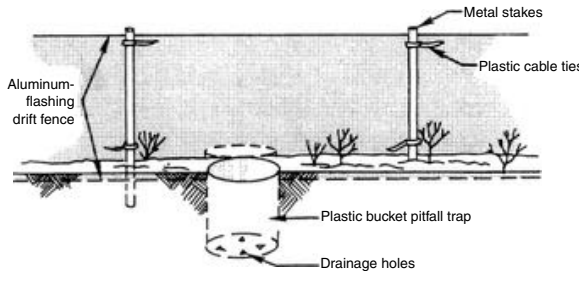
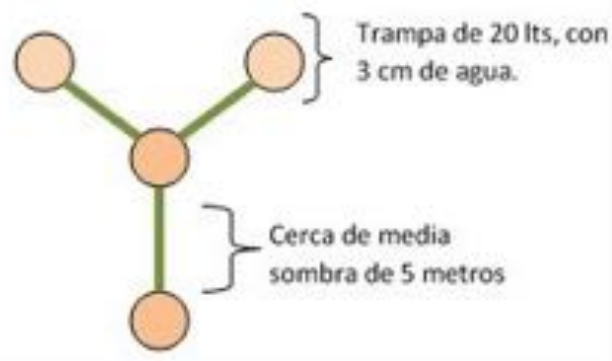


- (A) canto simple pulsado de *Odontophrynus americanus*
- (B) serie de dos cantos simples tonales de *Leptodactylus latinasus*
- (C) serie de dos cantos simples pulsátiles de *Scinax nasicus*
- (D) canto compuesto o complejo de *Melanophryniscus stelzneri*, con series de notas tonales en la primer mitad del canto y un tren de pulsos en la segunda mitad.



Técnicas de muestreo pasivo

Trampas de caída y cercos de deriva





Cubiertas y refugios artificiales



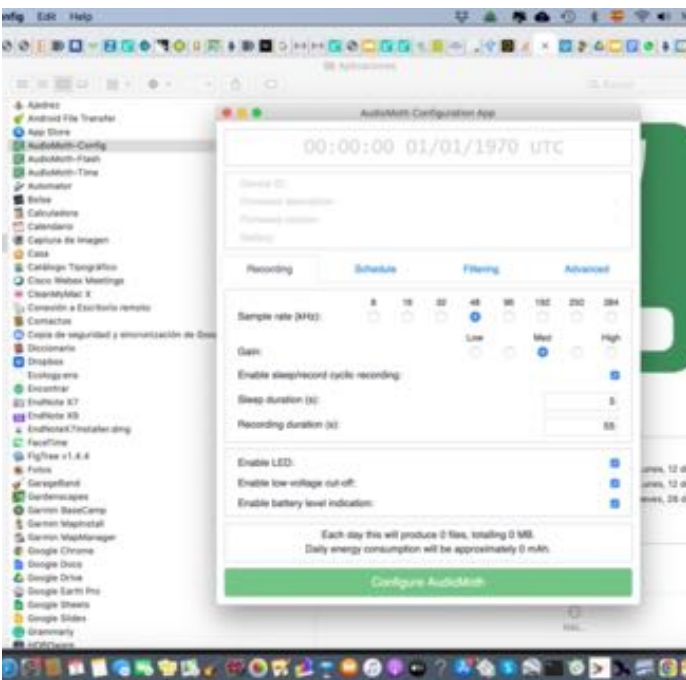
Monitoreo o muestreo acústico pasivo (MAP)

grabadores digitales automatizados (GDA)



Monitoreo o muestreo acústico pasivo (MAP)

grabadores digitales automatizados (GDA)



Programación/Horarios de los Grabadores Digitales Automatizados

Tasa de Muestreo (Sampling Rate, 16000 Hz)

Gasto de baterías y almacenamiento

Permite:

- muestreos a largo plazo
- sincronicos espacialmente

Bioacústica

Ecoacústica

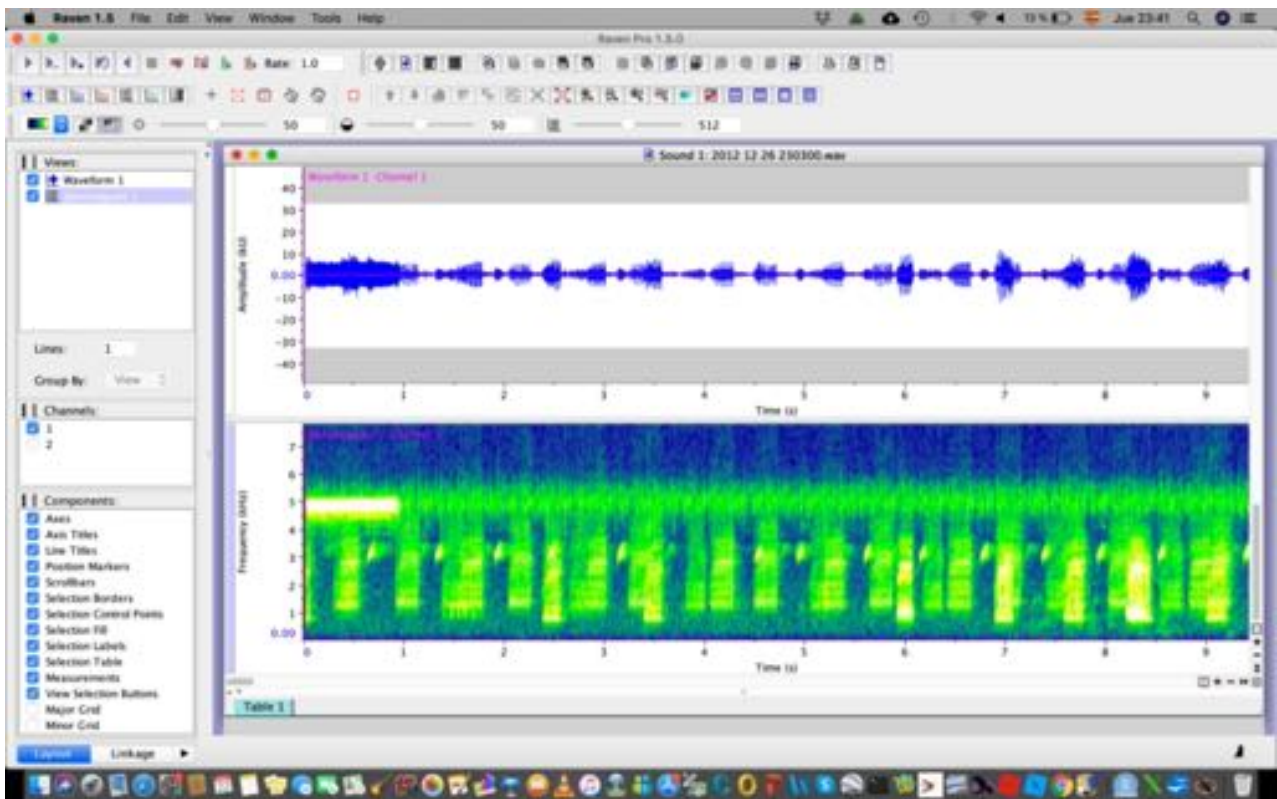
Equipos costosos

Manejo de la información

Paisaje acústico: índices acústicos

-NDSI proxy de ruido
(Fairbrass et al. 2017)

ACI, ADI, AEI, H and BIO





Documentation for package 'monitoR' version



Kaleidoscope Pro 5

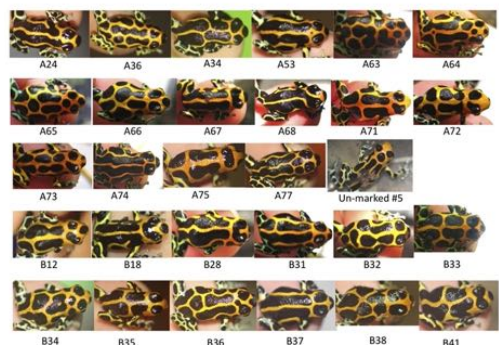
Estudios específicos

Identificación y marcaje de individuos

1. Técnicas de identificación por manchas y patrones de la piel



Bombina variegata



Movement Patterns in a Uruguayan Population of *Melanophryniscus montevidensis* (Philippi, 1902) (Anura: Bufonidae) Using Photo-Identification for Individual Recognition

Gisela Pereira^{1,*}, Raúl Maneyro¹

¹ Laboratorio de Sistemática e Historia Natural de Vertebrados, Instituto de Ecología y Ciencias Ambientales, Facultad de Ciencias, Universidad de la República, Iguaú 4225, CP 11400, Montevideo, Uruguay.

* Corresponding author. Email: gisepe04@gmail.com

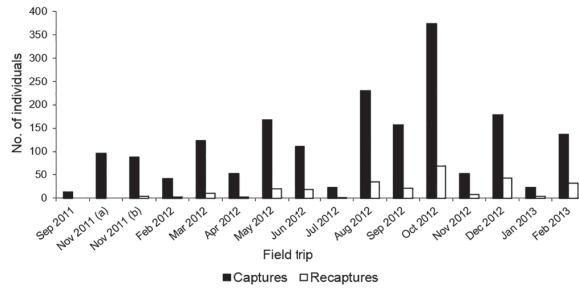


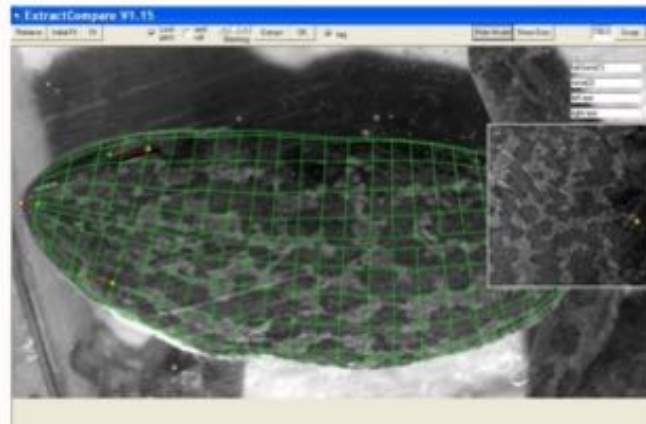
Figure 2. Monthly variation in the number of captured and recaptured individuals of *Melanophryniscus montevidensis* at Barra de la Laguna de Rocha.



Figure 3. Male of *Melanophryniscus montevidensis* recaptured four times in Barra de la Laguna de Rocha during the period of work. (a) First capture: July 2012, shelter in C1. (b) Recapture (RC) 1: August 2012, breeding activity in C2i. (c) RC 2: September 2012, active in C2i. (d) RC 3: October 2012, breeding activity in C2i. (e) RC 4: December 2012, breeding activity in C2i. Photos: Federico Acharán-Coppes, Santiago Curoes, Ernesto Elgue, and Gisela Pereira.

EXTRACT COMPARE - FROG

The picture on this page illustrates the process of scanning patterns from photos of chorus frogs. By fitting a 3D surface model to the image our programs capture a pattern that is unaffected by the camera angle or posture. They then go on to compare the new pattern with previous patterns stored in a library and display the most likely matches. Suitable images may be from researchers or tourists and the resulting database of match results can be used to provide the usual benefits of mark/recapture studies: monitoring of population size and other parameters, determining the fate of individual animals, encouraging cooperation between different research groups. The programs will also match images of a live animals to images of skins and can thus be used to help in tracing their



FREE SOFTWARE DOWNLOAD

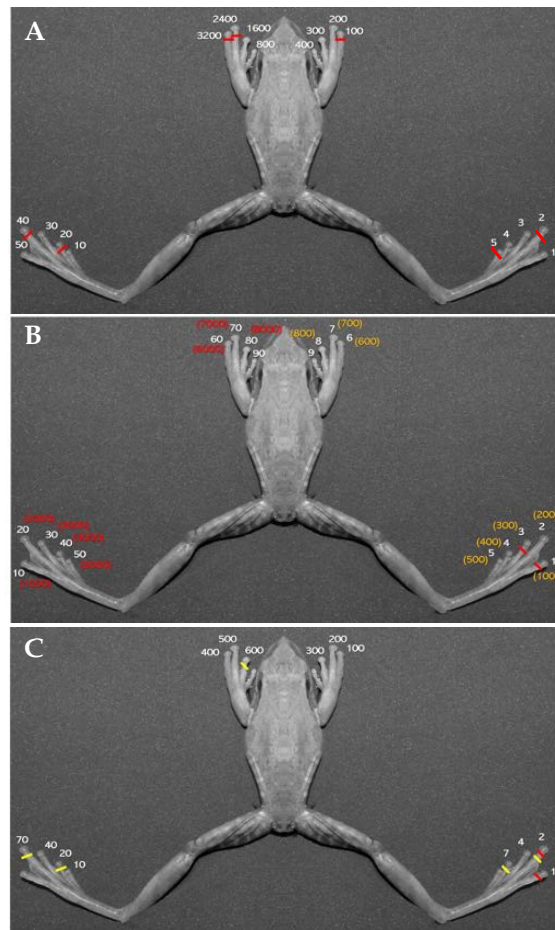
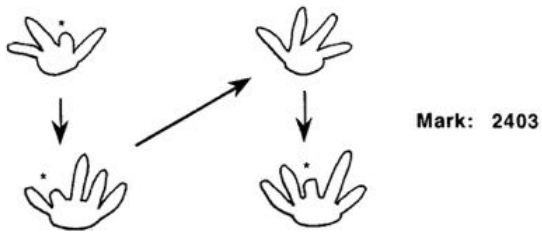
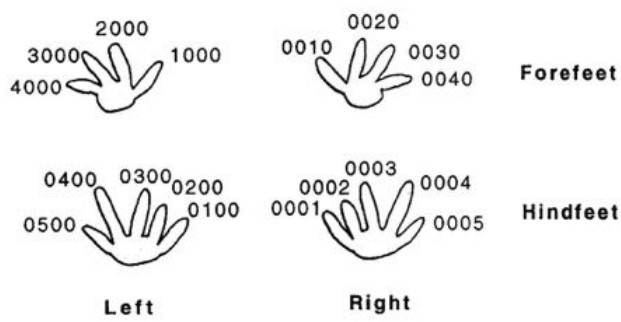
To try out the software first unzip the following "[frog_demo_folders.zip](#)" file to your C: drive, where it will make a "c:\frog_demo\" folder with a number of subfolders containing sample images and pattern extracts. The "c:\frog_demo\" folder will also contain an Access database called "frog_demo.mdb" and a "Usage_notes.doc" explaining the process of entering new images, extracting patterns from those images and comparing the patterns to the library in order to search for earlier images of the same animal.

Then open the "[ExtractCompare_install.zip](#)" file and double-click the "setup.exe" program. Please answer "yes" to retain any files that would otherwise be overwritten by older files.

When installation is complete click on "ExtractCompare" in the programs list or the "Extract/Compare" button in the "frog_demo.mdb" database. Then please follow the steps in "Getting started" section of the "Usage_notes.doc" document to see how the system is run to search a database

Técnicas de marcado

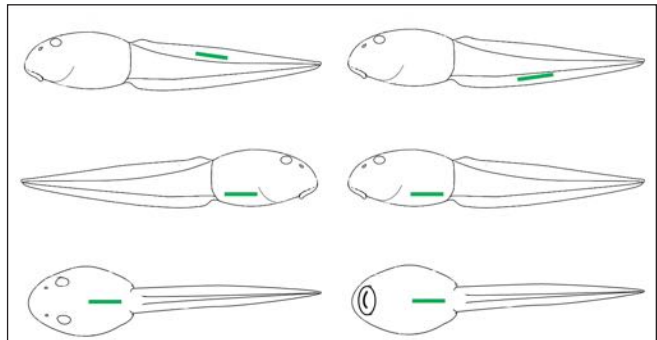
1. Corte de falanges



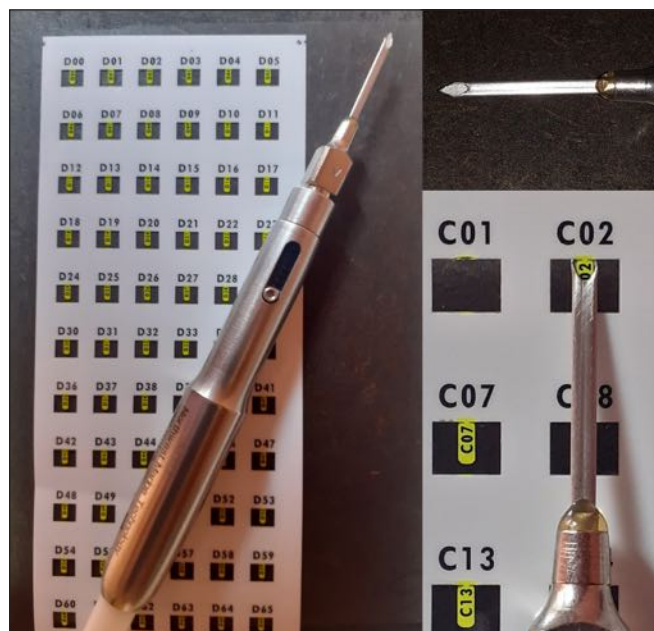
Etiquetas electrónicas pasivas internas (Passive Integrated Transponder, PIT)

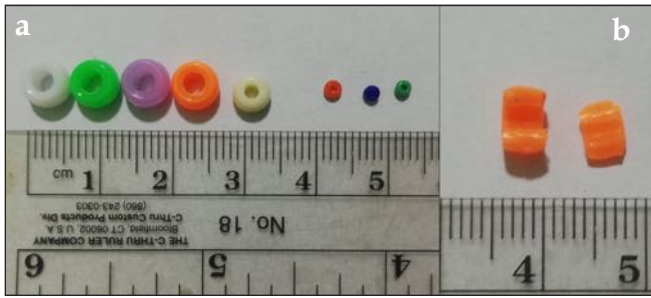


Implante visible de elastómeros (Visual Implant Elastomer, VIE)

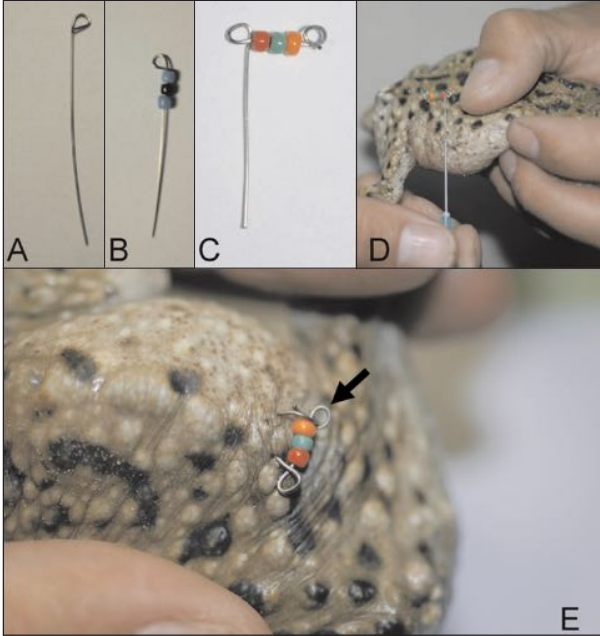


Implantes visuales alfanuméricos (Visual Implant Alphanumeric, VIA)



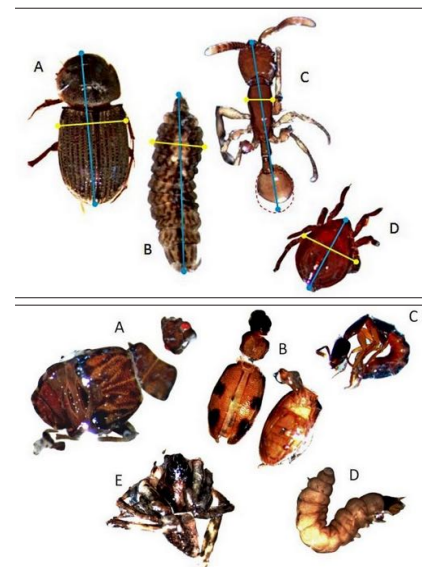
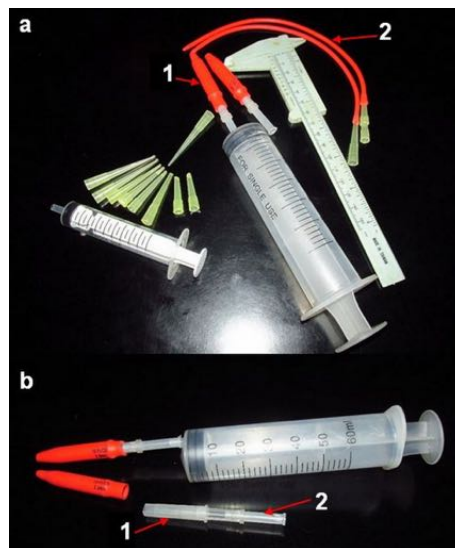


Cinturones y piercings

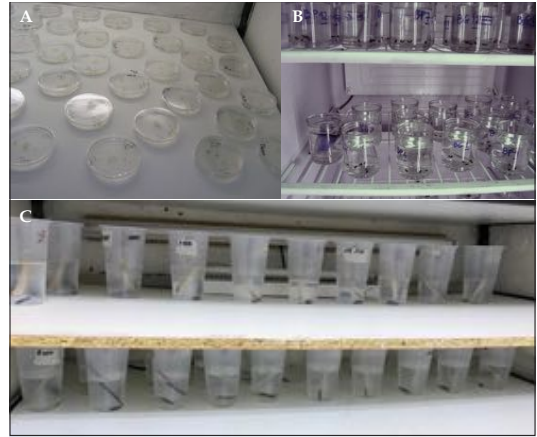


Color	Primera perla	Segunda perla	Tercera perla (multiplicador)
Negro	0	0	0
Marrón	1	1	10
Rojo	2	2	100
Naranja	3	3	1000
Amarillo	4	4	10000
Verde	5	5	100000
Azul	7	7	1000000
Violeta	8	8	10000000
Gris	9	9	100000000
Blanco	10	10	1000000000

Estudios de dieta



Estudios en microcosmos



Manipulación de organismos:

- Uso de guantes lavados

Capturas:

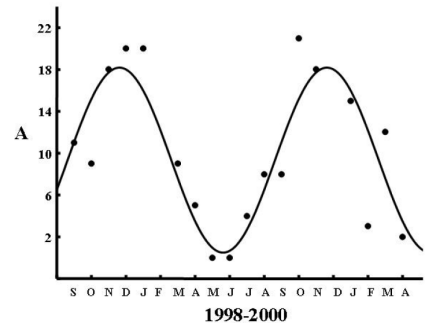
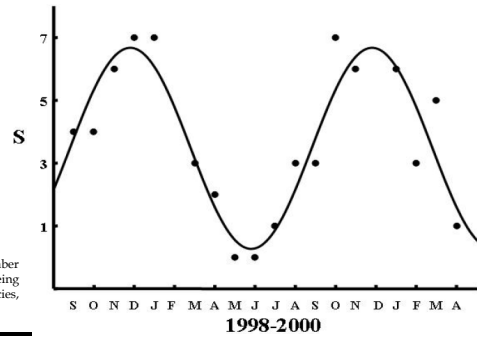
- obtener la mayor cantidad de información posible de cada individuo (medidas morfométricas, peso, material genético...)
- Información del ambiente (sustrato, meteorología)
- depositar en colecciones científicas
- Eutanasia (técnico acreditado por la CHEA) utilizando anestésicos (Pentobarbital sódico, Metanosulfonato de triclaína MS-222)

Calling activity patterns in an anuran assemblage: the role of seasonal trends and weather determinants

Andrés CANAVERO^{1,2,*}, Matías ARIM^{2,3}, Daniel E. NAYA³, Arley CAMARGO^{2,5}, Inés da ROSA² and Raúl MANEYRO^{2,4}

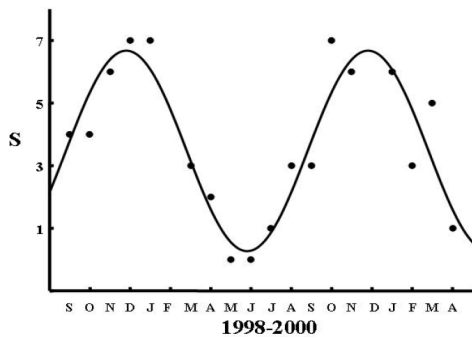
Table 2. Ranks of relative abundance for each species of the anuran assemblage at Espinas Stream, Maldonado, Uruguay, from September 1998 to April 2000. 1 = one calling male, 2 = two or three calling males, 3 = more than three calling males with calls being distinguishable from each other, 4 = chorus, S = number of species calling, A = sum of the estimated abundances of all active species, N° = number of different months where the species was registered (in a 12 months scheme).

Species	1998				1999				2000				N°						
	S	O	N	D	J	M	A	M	J	J	A	S		O	N	J	F	M	A
<i>Hypsiboas pulchellus</i>	4	2	4	4	4	4	4		4	4	3	3	3	3	4	1	4	2	10
<i>Pseudis minuta</i>	2	2	3	2	2	4	1					3	1	3	3	2	1	1	8
<i>Physalaemus gracilis</i>	4	4	4	4	3						1	4	4	4	3			1	7
<i>Scinax granulatus</i>	1		3		1							4	2	1					4
<i>Leptodactylus latinasus</i>		1	1										3	4	3	1			4
<i>Leptodactylus ocellatus</i>				3	2	4	1						3						5
<i>Leptodactylus gracilis</i>												1	2	2					3
<i>Elachistocleis bicolor</i>					2	2												2	3
<i>Odontophrynus americanus</i>					2													4	2
<i>Rhinella gr. granulatus</i>					4	4													2
S	4	4	6	7	7	3	2	0	0	1	3	3	7	6	6	3	5	1	
A	11	9	18	20	20	9	5	0	0	4	8	8	21	18	15	3	12	2	



Calling activity patterns in an anuran assemblage: the role of seasonal trends and weather determinants

Andrés CANAVERO^{1,2,*}, Matías ARIM^{2,3}, Daniel E. NAYA³, Arley CAMARGO^{2,5}, Inés da ROSA² and Raúl MANEYRO^{2,4}



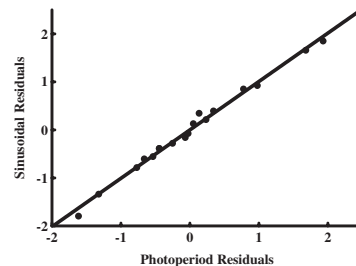
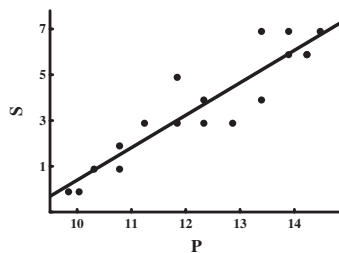
Journal of Natural History
Vol. 43, Nos. 45-48, December 2009, 2975-2984



Clues supporting photoperiod as the main determinant of seasonal variation in amphibian activity

Andrés Canavero^{a,b,*} and Matias Arim^{b,c}

Journal of Natural History 2981



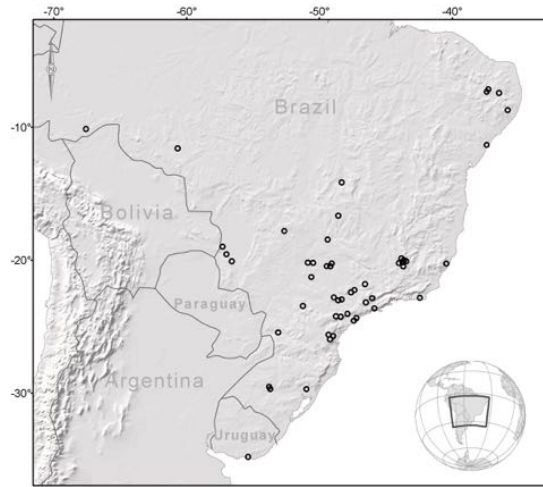
Anuran phenology and the macroecological perspective

Amphibia-Reptilia 26 (2005): 211-221

Breeding activity patterns, reproductive modes, and habitat use by anurans (Amphibia) in a seasonal environment in the Pantanal, Brazil

Cynthia P. de A. Prado^{1,3}, Masao Uetanabaro¹, Célio F.B. Haddad²

Species	Mode	Pattern	Reproductive period
Bufonidae			
<i>Bufo</i> sp. 1 (gr. <i>granulosus</i>)	1	E	██████████
<i>Bufo</i> sp. 2 (gr. <i>granulosus</i>)	1	E	██████████
<i>B. schneideri</i>	1	E	██████████
Hylidae			
<i>Hyla nana</i>	1	C	██████████
<i>H. punctata</i>	1	P	██████████
<i>H. raniceps</i>	1	P	██████████
<i>Lysapsus limellus</i>	1	C	██████████
<i>Phrynohyas venulosa</i>	1	E	██████████
<i>Phyllomedusa hypochondrialis</i>	18	P	██████████
<i>Pseudis paradoxa</i>	1	P	██████████
<i>Scinax acuminatus</i>	1	E	██████████
<i>S. fuscicornis</i>	1	P	██████████
<i>S. nasutus</i>	1	E	██████████
Leptodactylidae			
<i>Adenomera</i> cf. <i>diptyx</i>	21 or 22	P	██████████
<i>L. eptodactylus chaquensis</i>	8	E	██████████
<i>L. elenae</i>	21	P	██████████
<i>L. fuscus</i>	21	P	██████████
<i>L. cf. macrosternum</i>	8	E	██████████
<i>L. podicipinus</i>	3	C	██████████
<i>Physalaemus albonotatus</i>	8	P	██████████
<i>P. cf. biligonigerus</i>	8	E	██████████
<i>Pseudopaludicola</i> cf. <i>fulcipes</i>	1	E	██████████
Microhylidae			
<i>Chiasmocleis mehelvi</i>	1	E	██████████
<i>Elachistocleis</i> cf. <i>bicolor</i>	1	E	██████████
	Months		J F M A M J J A S O N D



52 comunidades
 9-39 especies
 361 especies
 50 géneros
 7º a 35º S

Metabolic theory of ecology

$$B_T \approx e^{\frac{-E}{kT}}$$

E = activation energy (eV)
 k = Boltzmann constant ($8,62 \times 10^{-5}$ eV/K)
 T = temperature in Kelvin

PERSPECTIVES

THE ROBERT H. MACARTHUR AWARD LECTURE



Ecology, 85(7), 2004, pp. 1771-1789
 © 2004 by the Ecological Society of America

TOWARD A METABOLIC THEORY OF ECOLOGY

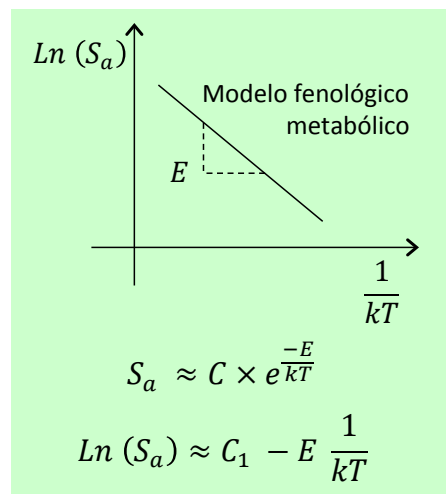
JAMES H. BROWN,^{1,2,4}

with JAMES F. GILLOOLY,¹ ANDREW P. ALLEN,¹ VAN M. SAVAGE,^{2,3} AND GEOFFREY B. WEST^{2,3}

¹Department of Biology, University of New Mexico, Albuquerque, New Mexico 87131 USA

²Santa Fe Institute, 1399 Hyde Park Road, Santa Fe, New Mexico 87501 USA

³Theoretical Division, MS B285, Los Alamos National Laboratory, Los Alamos, New Mexico 87545 USA



Results

Mixed effect linear model

Number of observations: 717

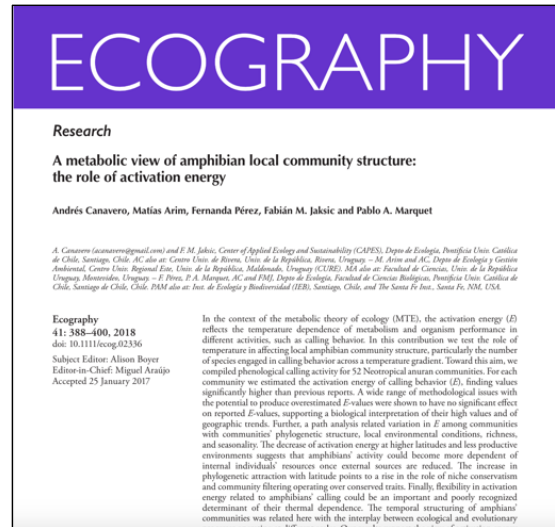
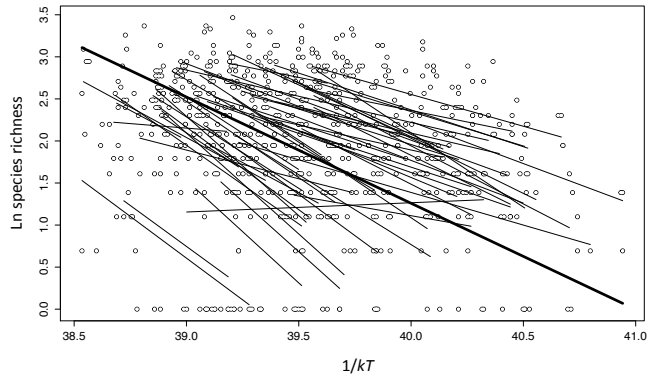
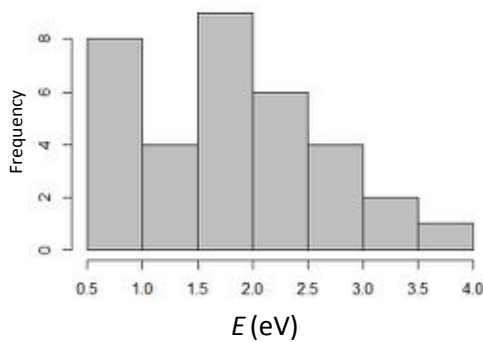
Number of groups (communities): 52

The analysis of slopes (E) is of interest as a biological variable representing the thermal dependence of communities phenology.

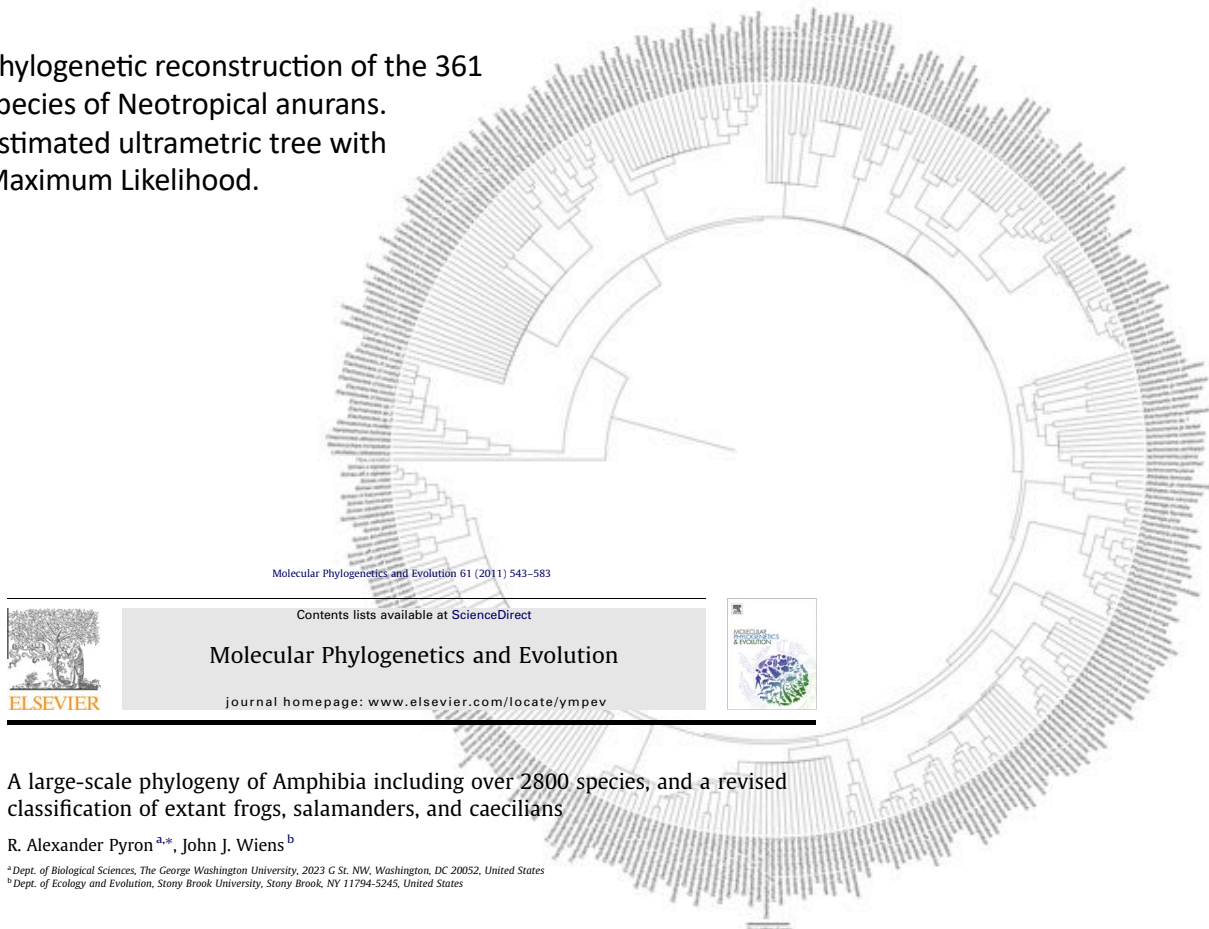
Test Shapiro-Wilk de normalidad:

$W = 0,957$; $p\text{-value} = 0,204$

Media = 1,80 eV (IC = 1,53 a 2,08 eV)



Phylogenetic reconstruction of the 361 species of Neotropical anurans. Estimated ultrametric tree with Maximum Likelihood.



Molecular Phylogenetics and Evolution 61 (2011) 543–583



Contents lists available at ScienceDirect
Molecular Phylogenetics and Evolution

journal homepage: www.elsevier.com/locate/ympev



A large-scale phylogeny of Amphibia including over 2800 species, and a revised classification of extant frogs, salamanders, and caecilians

R. Alexander Pyron^{a,*}, John J. Wiens^b

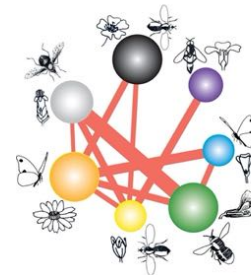
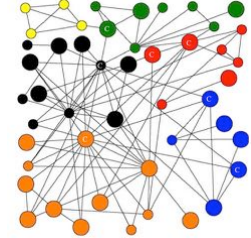
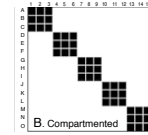
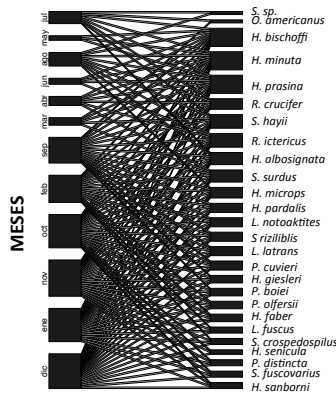
^aDept. of Biological Sciences, The George Washington University, 2023 G St. NW, Washington, DC 20052, United States

^bDept. of Ecology and Evolution, Stony Brook University, Stony Brook, NY 11794-5245, United States

Network theory

Phenological modularity (ZMod):

It represents the degree to which some species are more likely to share months in which they are active.



Robert May

Will a Large Complex System be Stable?

NATURE VOL. 238 AUGUST 18 1972

Modularity has been associated with stability.

(May 1972, Thébault & Fontine 2010, Clune et al. 2013).

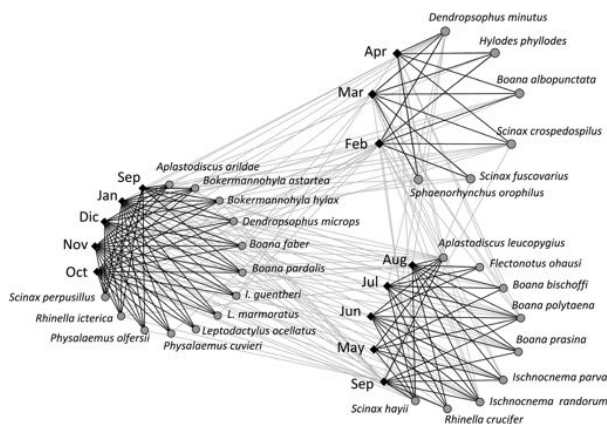
(Lewinsohn & Prado 2006, Olesen et al. 2007, Canavero et al. 2009, Fortuna et al. 2009, Borthagaray et al. 2014a,b)



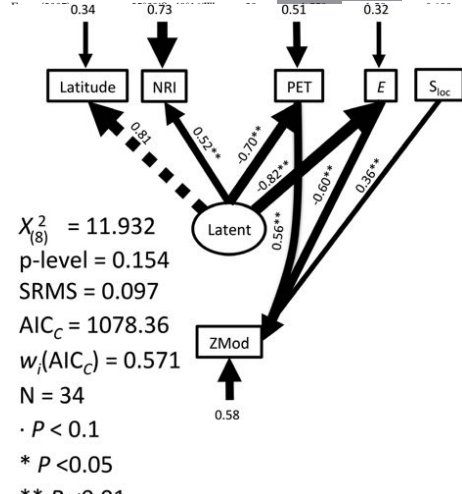
Austral Ecology (2019) 44, 1451–1462

Phenological modularity in amphibian calling behaviour: Geographic trends and local determinants

ANDRÉS CANAVERO,^{1,2*} MATÍAS ARIM,² FERNANDA PÉREZ,³ FABIAN M. JAKSIC^{1,3} AND PABLO A. MARQUET^{3,4,5}
¹Center of Applied Ecology and Sustainability (CAPES), Santiago, Chile (Email: acanavero@gmail.com); ²Departamento de Ecología y Gestión Ambiental, Centro Universitario Regional del Este (CURE) Tacuarembó sin; ³Departamento de Ecología, Facultad de Ciencias Biológicas, Pontificia Universidad Católica de Chile; ⁴Instituto de Ecología y Biodiversidad (IEB), Santiago, Chile; and ⁵The Santa Fe Institute, Santa Fe, New Mexico, USA



	Locality	S_{loc}	E	ZMod	NRI	PET
Abrunhosa et al. (2006)	22°50'S; 42°27'W	19	2.310	1.64	0.481	82.002
Afonso and Eterovick (2007)	20°05'S; 43°29'W	12	0.623	3.51	0.848	79.910
Arzabe (1999)	07°17'S; 37°21'W	11	3.524	-1.05	-0.687	103.820
Arzabe (1999)	07°11'S; 37°19'W	16	3.257	-0.13	-1.260	103.820
Arzabe et al. (1998)	11°20'S; 37°25'W	17	-1.033	5.72	-0.512	115.073
Ávila and Ferreira (2004)	18°58'S; 57°39'W	15	2.562	-0.80	-0.823	126.480
Bernarde and dos Anjos (1999)	23°27'S; 51°15'W	18	0.754	2.24	0.457	81.373
Bernarde and Kokubum (1999)	21°16'S; 50°37'W	19	1.735	0.14	-0.186	98.930
Bernarde and Machado (2000)	25°27'S; 53°07'W	20	0.997	-1.57	-1.447	69.233
Bernarde (2007)	11°35'S; 80°41'W	33	0.354	6.63	0.033	87.138
Bertoluci and Rodrigues (2002)	23°38'S; 45°52'W	28	0.951	4.23	2.462	77.917
Bertoluci (1998)	24°15'S; 48°24'W	26	0.978	3.54	1.974	73.162
Blimires et al. (1997)	16°39'S; 48°36'W	13	1.476	2.57	0.443	85.403
Borges and de Freitas Juliano (2007)	17°47'S; 49°23'W	25	2.318	4.14	-1.032	97.730
Both et al. (2008)	29°32'S; 53°47'W	18	0.859	-0.78	-0.335	77.418
Canavero et al. (2008)	34°47'S; 55°22'W	10	0.674	2.31	-1.325	68.460
Candeira (2007)	20°20'S; 49°11'W	24	3.181	-2.81	-1.293	95.515
Caneelas and Bertoluci (2007)	20°05'S; 43°28'W	32	1.606	6.88	1.321	79.910
Bernarde and Haddad (1992)	21°48'S; 46°35'W	19	1.657	-0.76	-0.650	74.593
Cardoso and Souza (1996)	10°08'S; 67°35'W	31	2.598	-0.72	1.848	119.998
Conte and Machado (2005)	25°57'S; 49°13'W	21	1.682	0.50	1.883	66.385
Conte and Rossa-Peres (2006)	25°41'S; 49°03'W	31	0.847	2.51	0.836	66.385
Cont	66.385
Cont	66.385
Cont	66.385
Filhe	66.385
Forti	66.385
Gran	66.385
Heye	66.385
Kopp	66.385
Kopp	66.385
Maff	66.385
Mor	66.385
Nar	66.385
Nasc	66.385
Nom	66.385
Nom	66.385
Nom	66.385
Oda	66.385
Papp	66.385
Pom	66.385
Pom	66.385
Pom	66.385
Prad	66.385
Ross	66.385
Sant	66.385
Sant	66.385
Sant	66.385
Sant	66.385
Sant	66.385
Sao	66.385
Silva	66.385
Teix	66.385
Tole	66.385
Viaz	66.385
Zina	66.385





Calling phenology of anurans in a tropical rainforest in South Mexico: testing predictive models

Diana Laura Fuentes-de la Rosa^a, Leticia Margarita Ochoa-Ochoa^b and Andrés Canavero^b

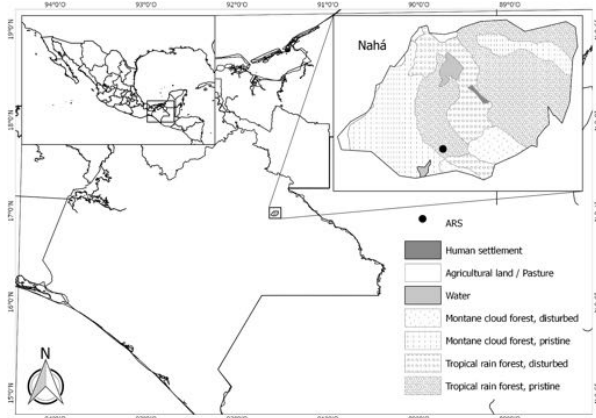
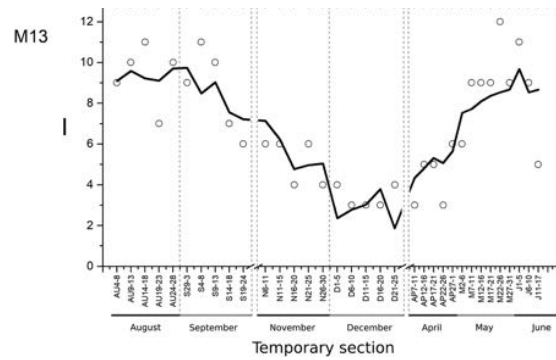


Figure 1. Study site location and land use, natural protected area of Nahá, Ocosingo, Chiapas, México.



$$I \sim I_{me} + I_{amp} \sin(2\pi(t + c)/72) + D \cdot R_a + E \cdot DW$$



Manual de técnicas y protocolos para el relevamiento y estudio de anfibios de Argentina

Laura Pereyra
 Eduardo Etchepare
 Marcos Vaira
 Editores

